



کانی شناسی و مقایسه شیمی تورمالین در رگه‌های کوارتز-تورمالین با میزبان گرانیت‌تئید و متاپلیت در منطقه شاهکوه (شرق ایران): رهیافتی برای بررسی امکان کانه‌زایی قلع

مجید قاسمی سیانی^{۱*}، حامد ابراهیمی فرد^۱، بهروز کریمی شهرکی^۲

۱- گروه ژئوشیمی، دانشکده علوم زمین، دانشگاه خوارزمی، تهران، ایران

۲- مرکز تحقیقات فراوری مواد معدنی ایران

(دریافت مقاله: ۹۹/۶/۲۶، نسخه نهایی: ۹۹/۶/۲۶)

چکیده: با تولیت گرانیتی شاهکوه (جنوب بیرجند) با ترکیب مونزوگرانیت و سینوگرانیت در کرانه شرقی قطعه لوت قرار دارد و بیشتر شامل پلاژیوکلاز، فلدسپار قلیایی و کوارتز همراه با بیوتیت و تورمالین است. بافت غالب واحد مونزوگرانیتی و سینوگرانیتی به ترتیب دانه‌ای تا پورفیری و دانه‌ای تا میکروگرافیک است. سنگ‌های رسی دگرگونه (متاپلیتی) میزبان رگه‌های کوارتز-تورمالین دارای بافت پورفیروبلاستیک هستند. تورمالین‌های با میزبان متاپلیتی در گستره سری دراویت و تورمالین‌های قلیایی قرار دارند، در حالی که تورمالین‌های با میزبان گرانیت‌تئید از نوع شورلیت هستند. وجود ویژگی‌هایی چون بالاتر بودن مقدار Mg نسبت به Fe، پایین بودن مقدار (Fe/(Fe+Mg)، مقادیر پایین Al، تمایل بردارهای تهی‌شدگی از عناصر قلیایی و پروتون‌زادایی به سمت خارج و مقادیر FeO/(FeO+MgO) کمتر از ۰.۶ در رگه‌های تورمالین دار با میزبان متاپلیتی، بیان‌کننده واکنش سیال-سنگ در یک سامانه باز دور از توده گرانیت‌تئیدی و خاستگاه ماگمایی-گرمایی است. همچنین ویژگی‌هایی مانند بالا بودن نسبت (Fe/(Fe+Mg)، نبود منطقه‌بندی و نزدیک بودن به توده گرانیت‌تئیدی در رگه‌های تورمالین دار با میزبان گرانیت‌تئیدی، نشان‌دهنده جدایش سیال پنوماتولیکی در بردارنده (B) از ماگمای گرانیتی و نزدیک بودن آن به خاستگاه سیال دارای بور است. نتایج تجزیه قلع در برخی از واحدهای سنگی منطقه شاهکوه نشان می‌دهد که کانه‌زایی قلع و تا حدی تنگستن (بیش از ۵۰۰ گرم بر تن) در رگه‌های کوارتز-تورمالین واقع در شمال و شمال غربی منطقه مورد بررسی تمکز دارند که تا عیار اقتصادی (۴۵۰۰ گرم بر تن) در کانسراهای پر عیار قلع فاصله دارد.

واژه‌های کلیدی: رگه‌های کوارتز-تورمالین؛ شیمی تورمالین؛ شاهکوه؛ گرمایی؛ قلع و تنگستن.

در شمال با تولیت گرانیتی شاهکوه، شیل‌ها، ماسه‌سنگ‌های کوارتزیتی و سیلتستون‌های سازند شمشک و بخش‌هایی از سنگ‌های گرانیتی نام برد همراه هجوم تعدادی رگه‌های کوارتز-تورمالین قرار گرفته‌اند. در جنوب غربی با تولیت شاهکوه نیز، سنگ‌های متاپلیتی که بیشتر شامل ماسه‌سنگ‌ها و شیل‌های دگرگونه هستند، همراه با سنگ‌های شیستی در بردارنده

مقدمه
توده گرانیت‌تئیدی شاهکوه در جنوب بیرجند و ۳۵ کیلومتری شرق تا جنوب‌شرقی معدن قلعه‌زی واقع است. این توده گرانیت‌تئیدی در کرانه شرقی قطعه لوت قرار دارد و از این رو پژوهش‌های انجام شده پیرامون این قطعه تا حدی گرانیت شاهکوه و کانی‌سازی همراه آن را نیز پوشش می‌دهد [۸-۱].

قلع و تنگستان ۷ نمونه به روش طیفسنجی جرمی پلاسمای جفت شده القایی (ICP-MS) در آزمایشگاه Amdel استرالیا، ارسال تجزیه شیمیایی شدند.

زمین‌شناسی

باتولیت گرانیتی شاهکوه به صورت یک نوار با طولی حدود ۵۰ کیلومتر و عرض ۱۰ تا ۱۲ کیلومتر با روند شمال غربی-جنوب-شرقی در کرانه شرقی قطعه لوت قرار دارد (شکل ۱). نقشه زمین‌شناسی ۱:۵۰۰۰۰ منطقه مورد بررسی نشان می‌دهد که توده نفوذی شاهکوه بیشتر از دو واحد اصلی مونزوگرانیتی در شمال‌غربی و سینوگرانیتی در جنوب‌شرقی تشکیل شده است (شکل ۲). توده نفوذی شاهکوه از گرانیتهای پرآلومینوسری مگنتیتی (نوع-I) است و از ذوب بخشی سنگ‌های قاعده پوسته قاره‌ای که در اثر هضم سنگ‌های دگرگونی و روی پوسته بالایی میزبان طی جایگزینی ماگما دچار آلودگی شده‌اند، تشکیل گردیده [۱۱]. کانه‌زایی قلع در رگه‌های کوارتز-تورمالین تورقیافته به طور موضعی با واحد گرانوپوریتی همراه است. براساس پژوهش سهندی و مجل [۶]، مجموعه دگرگونی دهسلم در منطقه شاهکوه از دو بخش زیرین و بالایی تشکیل شده است (شکل ۲). بخش زیرین شامل ماسه‌سنگ و آهک‌های دگرگون شده در پایین و دگرگونی مجاورتی و بیوتیت شیست در بالا بوده و طی حرکت‌های زمین‌ساختی اواخر تریاس میانی (سیمرین پیشین) در رخساره شیست سبز تا اوایل رخساره امفیبیولیت دگرگون شده است. بخش بالایی آن که از شیل، سیلیستون و ماسه‌سنگ‌های کوارتزی تشکیل یافته، طی حرکت‌های زمین‌ساختی ژوراسیک پسین (سیمرین میانی) تا حدی دگرگون شده است. دگرگونی سیمرین میانی باعث ایجاد دگرگونی قهقهایی (فاز تأخیری) در بخش زیرین این مجموعه نیز شده است [۶].

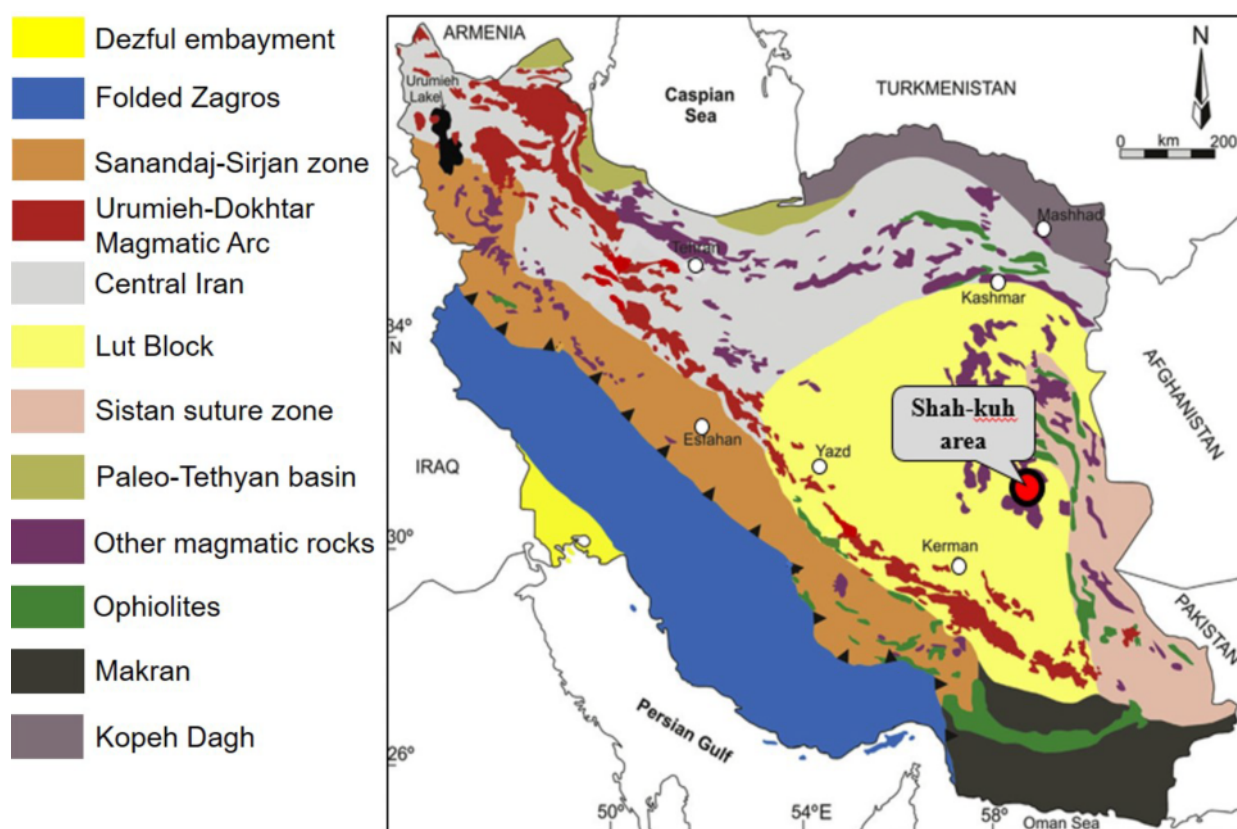
رگه‌های کوارتز-تورمالین هستند. ترکیب شیمیایی متعدد و پیچیده تورمالین بیانگر ارتباط مشخص آن با محیطی است که از آن متبلور شده است، این ارتباط می‌تواند شاخص مناسب و قابل اعتمادی تعیین خاستگاه و شکل‌گیری سامانه‌های گرمابی تشکیل‌دهنده کانه و راهنمای خوبی برای پیجوبی کانسارها از جمله ذخایر اقتصادی تنگستان، قلع و مولیدن همراه با تورمالین باشد [۹]. شیمی تورمالین در توده گرانیتوئیدی شاهکوه توسط اسماعیلی و همکاران [۱۰] بررسی شده، در حالی که شیمی تورمالین در رگه‌های کوارتز-تورمالین با میزانی سنگ‌های متاپلیتی مطالعه نشده است. هدف از این پژوهش، ضمن بررسی مختصر زمین‌شناسی و سنگنگاری توده گرانیتوئیدی شاهکوه و واحدهای دربرگیرنده، بررسی شیمی تورمالین در رگه‌های کوارتز-تورمالین با میزانی سنگ‌های متاپلیتی و مقایسه آن با تورمالین‌های موجود در واحدهای آذرین [۱۰]، و سرانجام شرایط تشکیل و نیز کانه‌زایی احتمالی قلع و تنگستان در ارتباط با گرانیتوئید شاهکوه بوده است.

روش بررسی

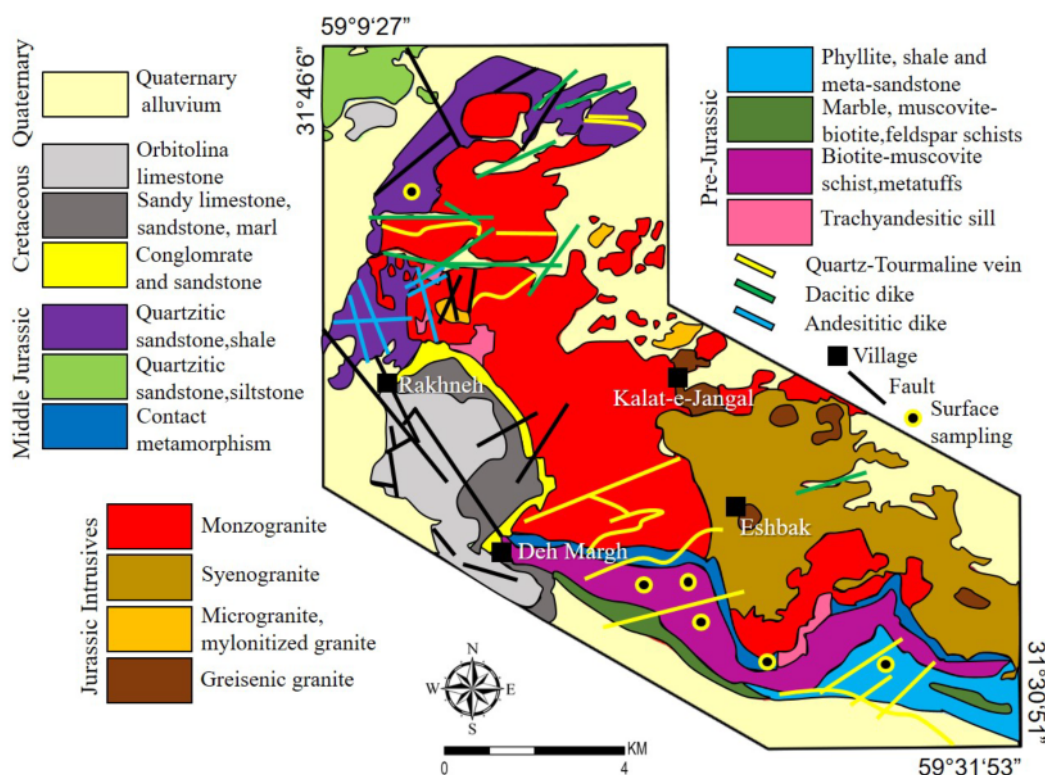
به منظور بررسی‌های سنگنگاری، تعداد ۲۸ مقطع نازک از نمونه‌های برداشت شده از کوارتز-تورمالین، رخنمون‌های کانی-سازی شده و توده‌های نفوذی گرانیتی منطقه شاهکوه تهیه و با میکروسکوپ مطالعه شدند. مختصات جغرافیایی نمونه‌های برداشت شده در جدول ۱ آورده شده است. بررسی‌های تکمیلی بر پایه، یافته‌های برآمده از ۱۴ تجزیه نقطه‌ای صورت گرفته بر ۲ مقطع نازک صیقلی منتخب از رگه‌های کوارتز-تورمالین انجام شد. تجزیه به روش ریزپردازش الکترونی (EPMA) در مرکز تحقیقات فرآوری مواد معدنی ایران با دستگاه مدل CAMECA X 100 با شرایط ۲۰kV و ۱۵nA با قطر باریکه یک تا پنج میکرون صورت گرفت. برای بررسی توان کانی‌سازی

جدول ۱ مختصات جغرافیایی نقاط نمونه‌برداری شده.

طول جغرافیایی	۵۹°۱۶'۰۰"E	۵۹°۱۵'۵۷"E	۵۹°۱۶'۵"E	۵۹°۱۶'۵"E	۵۹°۱۶'۵۲"E	۵۹°۱۶'۵۲"E
عرض جغرافیایی	۳۱°۴۶'۵۰"N	۳۱°۴۵'۵۷"N	۳۱°۴۵'۵۱"N	۳۱°۴۵'۵۱"N	۳۱°۴۵'۵۱"N	۳۱°۴۶'۳۵"N



شکل ۱ پهنه‌های رسوی- ساختاری عمده ایران و موقعیت منطقه شاهکوه (بر گرفته از مرجع [۱۲] با تغییرات).



شکل ۲ نقشه زمین‌شناسی ساده منطقه شاهکوه همراه با واحدهای سنگی رخنمون بافتی در منطقه [۱۰].

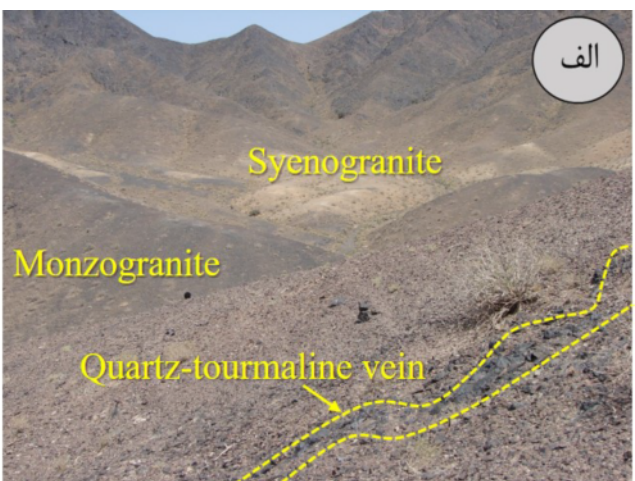
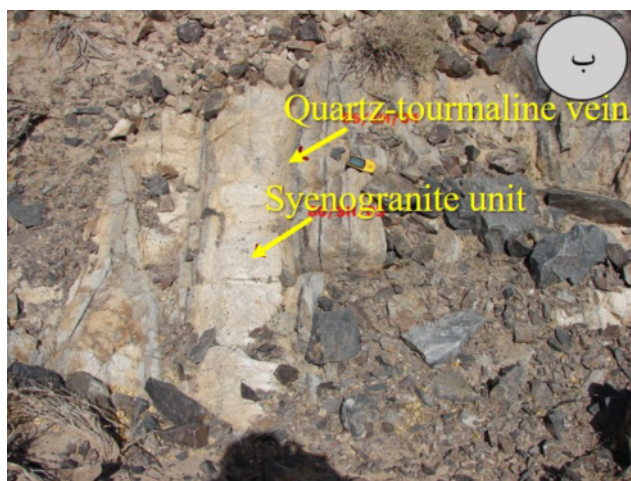
است (شکل ۵ پ). به ندرت، همرشدی‌های میکروگرافیک بین تورمالین با کوارتز و یا تورمالین با فلدسپار قلیایی نیز دیده شده است. بلورهای فلدسپار قلیایی در حال دگرسانی به سریسیت هستند. میکروگرانیت با رنگ خاکستری روشن و یا مایل به خاکستری کمرنگ و بافت دانه‌ای ریزدانه، پورفیری و گاه گرانوفیری ریزدانه در باتولیت شاهکوه دارای رخنمون است (شکل‌های ۵ ث و ج). کانی‌های اصلی شامل بلورهای پلازیوکلاز، فلدسپار قلیایی و کوارتز هستند. ماکل آلبیت (کارلسپاد) و چند ریخت در پلازیوکلاز رایج است. تنش‌های زمین ساختی باعث ریزدانه‌شدنی و ایجاد لبه دندانه‌دار در بلورهای فلدسپار قلیایی شده است. فلدسپار قلیایی همچنین در اثر عملکرد سیال‌های گرمایی به سریسیت تجزیه شده است (شکل ۵ ج). کانی‌های فرعی شامل مسکوویت و مقادیر جزئی کانی کدر هستند (شکل ۵ ث). گرانیت میلوونیتی با بافت عمدۀ سنگ تنش آواری و ملاتی است (شکل ۵ ج). این سنگ اغلب از بلورهای پلازیوکلاز، فلدسپار قلیایی و کوارتز تشکیل شده است. بلورهای فلدسپار قلیایی پرتیتی هستند. بلورهای پلازیوکلاز و فلدسپار قلیایی کائولینیتی شده‌اند. در اثر قرارگیری توده در پهنه برشی، در راستای سطوح برش، بلورهای فلدسپار و کوارتز خرد شده‌اند و پروتومیلوونیت شکل گرفته است که ریز بلورهای بیوتیت نیز در مسیر این سطوح انباشته شده‌اند. کانی‌های فرعی شامل تورمالین، بیوتیت، آمفیبول، زیرکن و آپاتیت هستند. بلورهای درشت و خودشکل تورمالین در متن سنگ دیده می‌شوند (شکل ۵ ج). گرانیت‌های گرایزنی شده پیرامون روستای کلات جنگل واقع در لبه شرقی توده بروزند دارند. در گرایزن‌ها، اغلب کانی‌هایی چون کوارتز، مسکوویت، توپاز، تورمالین، فلوریت و آلبیت دیده می‌شوند. رگه‌های کوارتز-تورمالین در هورنفلس (در نزدیکی برخوردگاه) تا میکاشیست-کوارتزیت (با فاصله بیشتر از برخوردگاه) نیز دیده می‌شوند (شکل ۴ پ). تشخیص لایه‌بندی این واحدهای دگرگونی گاه به دلیل دگرگونی مجاورتی شدید، ناممکن است. ضخامت رگه‌های کوارتز-تورمالین از کمتر از یک متر تا بیش از ۵۰ متر و طول رخنمون آن‌ها تا بیش از ۸۰۰ متر است. راستای آن‌ها بیشتر شمال شرقی-جنوب غربی است و دارای شبی نزدیک به قائم هستند. رگه‌های تورمالین با رشد اسفلولیتی در کنار کانی‌های یاد شده و با مرز تند و تیز

سنگ‌شناسی و سنگ‌نگاری

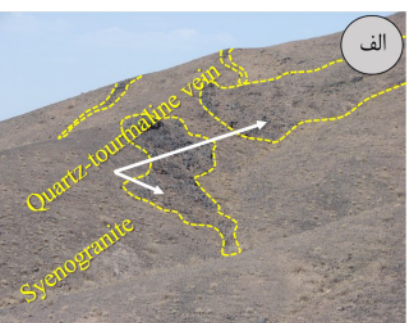
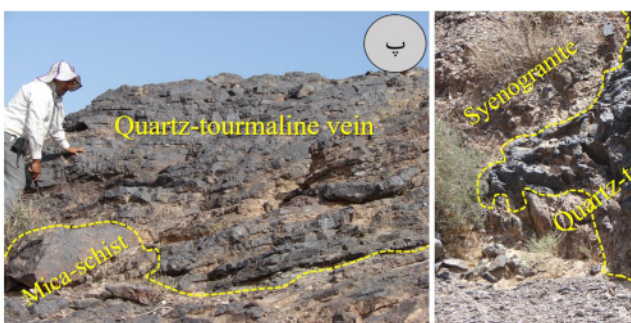
لوکوگرانیت (مونزوگرانیت تا گرانوودیوریت و سینوگرانیت) بخش عمده توده شاهکوه را تشکیل داده است. توده سینوگرانیتی نیز که بخشی از این سنگ‌شناسی محسوب می‌شود، بیشتر در جنوب‌شرقی منطقه رخنمون دارد (شکل ۳ الف). در واحد سینوگرانیتی، رگه‌های کوارتز-تورمالین دیده می‌شوند، که در برخی نقاط با هم برخورد دارند (شکل ۳ ب). مونزوگرانیت بیش از ۶۰ درصد توده گرانیتی را شامل می‌شود و در شمال و مرکز منطقه مورد بررسی رخنمون دارد. به طور کلی، تمرکز اصلی کانه‌زایی در شمال و شمال غربی منطقه شاهکوه، درون رگه‌های کوارتز-تورمالین رخنمون یافته است (شکل‌های ۴ الف و ب). ترکیب سنگ‌شناسی آن از مونزوگرانیت تا گرانوودیوریت (بیشتر مونزوگرانیت) تغییر می‌کند. بافت غالب سنگ دانه‌ای تا پورفیری با خمیره ریز تا متوسط‌بلور است (شکل‌های ۵ الف و ب). کانی‌های اصلی سنگ شامل، درشت‌بلورهای نیمه‌شکل‌دار مسکوویت (تا ۱ میلی‌متر) در حال دگرسانی به سریسیت (شکل ۵ الف) و خمیره ریز‌بلور از فلدسپار قلیایی و کوارتز هستند. فلدسپار قلیایی نیز طی دگرسانی به سریسیت تجزیه شده است (شکل ۵ ب). فلدسپارهای قلیایی نیمه‌شکل‌دار تا بی‌شکل هستند و همراه کانی‌های کدر و بلورهای بی‌شکل کوارتز فضای بین درشت‌بلورهای مسکوویت را پُر کرده‌اند (شکل ۵ الف). بلورهای فلدسپار قلیایی در اثر نیروهای دینامیکی در منطقه، دارای لبه دندانه‌دار شده‌اند. همچنین تنش‌های زمین‌ساختی جهت‌دار باعث جهت‌یافتنی درشت‌بلورهای مسکوویت شده است (شکل ۵ الف). بیوتیت فراوان-ترین کانی فرعی فرومیزین موجود در توده گرانوودیوریتی است (شکل ۵ ب). این سنگ‌ها در نمونه دستی دارای ساخت پigmاتیتی بوده و نیز تا حدی پورفیری هستند. نمونه دستی سینوگرانیت‌ها خاکستری روشن و یا مایل به خاکستری کم-رنگ بوده و در زیر میکروسکوپ دارای بافت دانه‌ای ریزدانه و همسان‌دانه، بافت پورفیری و میکروگرافیک است (شکل ۵ پ). کوارتز بی‌شکل و به ندرت خودشکل، فلدسپار قلیایی و پلازیوکلاز از کانی‌های اصلی سنگ هستند. در آن، میکروکلین با ماکل شترنجی دیده می‌شود (شکل ۵ ت). تورمالین مهمترین کانی فرعی موجود در این سنگ‌ها بوده که به صورت انباشته‌های بی‌شکل، بیشتر بر فلدسپار قلیایی تشکیل شده

سنگ‌شناسی‌های میکاشیست و کردیریت‌شیست با بافت پورفیروblastیک را شامل می‌شوند. کوارتز، تورمالین، مسکوویت، بیوتیت و کردیریت از عمدۀ کانی‌های تشکیل‌دهنده این سنگ‌ها هستند. در بین این ذرات، مواد آلی (گرافیت) نیز به صورت پراکنده و ریز دیده می‌شود (شکل ۵ ر). پورفیروblastیک‌های کردیریت و آندالوزیت طی دگرگونی مجاورتی تشکیل شده‌اند (شکل ۵ ذ). این سنگ‌ها در کنار توده نفوذی دارای ویژگی‌های هورنفلسی و دور از آن دارای تورق ضعیف اسلیتی هستند. ریزچین‌های متعددی در لایه‌های غنی از مسکوویت-بیوتیت دیده می‌شود که نشانگر دو فاز تغییر شکل و دو فاز دگرگونی ناحیه‌ای هستند (شکل ۵ ذ). در این واحد، بلورهای کردیریت موازی با شیستوارگی قرار دارند و نیز موازی با لایه‌های غنی از بیوتیت آرایش یافته‌اند (شکل ۵ ر).

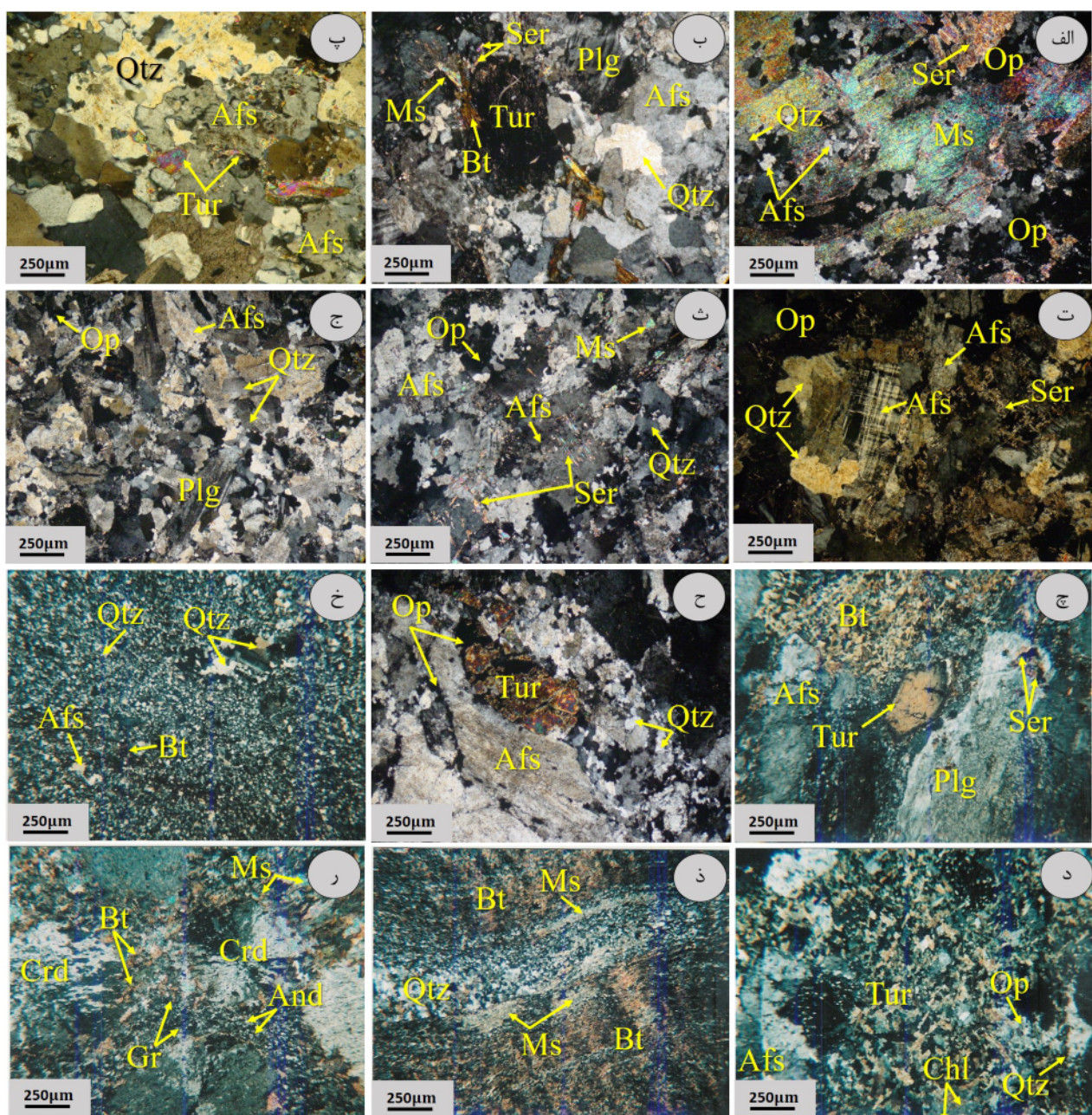
قراردارند (شکل ۵ ح). سنگ‌های دگرگونی متاپلیتی و تاحدی شیستی و هورنفلسی که دربردارنده رگه‌های کوارتز-تورمالین هستند، بیشتر در جنوب غربی منطقه مورد بررسی گسترش دارند. سنگ‌های متاپلیتی در اثر دگرگونی ناحیه‌ای شیل‌ها و ماسه‌سنگ‌های کوارتزیتی در حد رخساره شیست‌سیز به وجود آمده‌اند. بافت این سنگ‌ها میکروگرانولاستیک است. سنگ‌های متاپلیتی در نتیجه نیروهای زمین‌ساختی، به شدت خرد و سریسیتی‌شده که در میان پورفیری آواری کلاست‌های کوارتز قرار گرفته‌اند (شکل ۵ خ). در کنار توده نفوذی در این سنگ‌ها، رگه‌های ماکروسکوپی و میکروسکوپی تورمالین‌دار شامل تورمالین، کوارتز، ارتوز و کانی‌های کدر بسیار وجود دارند (شکل ۵) و رگه‌های آلکالی‌فلدسپار را قطع می‌نمایند (شکل ۵ د). سنگ‌های شیستی بخش جنوب غربی منطقه مورد بررسی



شکل ۳ (الف) رخمنون واحد سینوگرانیتی در منطقه شاهکوه، (ب) محل برخورد واحد سینوگرانیتی با رگه‌های کوارتز-تورمالین.



شکل ۴ سه نما از گسترش رگه‌های کوارتز-تورمالین دربردارنده کانه‌زایی قلع، (الف و ب) در واحد سینوگرانیتی، (پ) در واحد میکاشیست-کوارتزیت برآمده از دگرگونی مجاورتی شیل‌های شمشک.

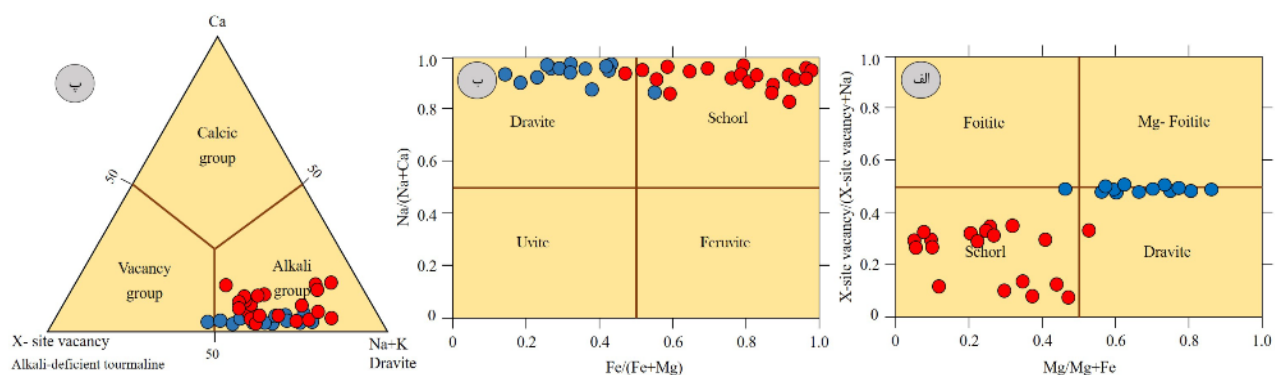


شکل ۵ تصاویر میکروسکوپی از بافت‌ها و دگرگونی‌های موجود در واحدهای سنگی آذرین و دگرگونی منطقه شاهکوه (تصاویر در نور قطبیده عبوری، XPL، گرفته شده‌اند)، (الف) بافت پورفیری با خمیره ریز تا متوسط‌بلور در مونزوگرانیت. درشت بلورهای مسکوویت در اثر دگرگانی در حال تبدیل به سریسیت هستند، (ب) بافت دانه‌ای تا پورفیریک در مونزوگرانیت، (پ) بافت دانه‌ای در سینوگرانیت موسکوویت‌دار، (ت) میکروکلین با ماکل شطرنجی در واحد سینوگرانیتی، (ث) و (ج) بافت دانه‌ای تا ریزدانه‌ای در میکروگرانیت و نیز ایجاد لبه دندانه‌دار و ریزدانه‌شدگی در بلورهای فلدسپار قلیایی در اثر تنש‌های زمین‌ساختی. بلورهای فلدسپار قلیایی در حال تبدیل به زیربلورهای سریسیت هستند، (ج) تورمالین درشت و شکل‌دار در میلونیت گرانیتی، (ح) قطعه‌های تورمالین دگریخت شده در اثر تنش‌های زمین‌ساختی در رگه کوارتز-تورمالین واقع در واحد سینوگرانیتی، (خ) ریز بلورهای کوارتز، فلدسپار قلیایی و بیوتیت که بافت ریزدانه شکفتی نوع هورنفلسی را در متاپلیت به نمایش می‌گذارد، (د) رگه کوارتز-تورمالین همراه با بلورهای ریز و منشوری تورمالین (قهقهه‌ای و آبی) در واحد متاپلیتی، (ذ) ریزچین در بیوتیت‌شیست تا فیلیت‌های مجموعه دگرگونی دهسلم و ر) بافت پورفیروبلاستیک در بیوتیت-کردیریت شیست و فنوبلاست کردیریت با ماکل پروانه‌ای. (تورمالین: Tur، فلدسپار قلیایی: Afs، کوارتز: Qtz، کانی‌کدر: Op، کلریت: Chl، مسکوویت: Ms، بیوتیت: Bt، کردیریت: Crd، آندالوزیت: And، گرافیت: Gr، آمفیبول: Am، پلاژیوکلاز: Pl، سریسیت: [۱۲] Ser)

شیمی تورمالین [۱۶] . Fe/(Fe+Mg) نسبت به Na/(Na+Ca) (شکل ۶ ب) [۱۶]. همه نمونه‌های تورمالین سنگ‌های متاپلیتی، به جز یکی که در گستره شورلیت قرار دارد، در گستره دراویت و تورمالین‌های توده گرانیتی در گستره شورلیت واقع هستند. هاتورن و هنری [۱۷] تورمالین‌ها را براساس مقادیر Ca, (K⁺) و وجود یا نبود وجود فضای خالی در جایگاه X-site vacancy (X-site vacancy) [۱۷]، به سه گروه تورمالین‌های کلسیمی، قلیایی و انواعی که جایگاه X آن‌ها خالی است، تقسیم کرده‌اند. با توجه به (شکل ۶ ب)، هر دو نوع نمونه تورمالین مورد بررسی در سنگ‌های میزبان متاپلیتی و گرانیتی از نوع قلیایی و اشباع از Al هستند، و فقط یک نمونه از تورمالین‌ها در گروه با تهیجای X خالی قرار دارد که این امر مربوط به پایین بودن مقادیر Na و K موجود در جایگاه X در مقایسه با مقدار Ca است [۱۷].

جدول ۲ نتایج تجزیه از ترکیب تورمالین‌های مربوط به رگه‌های کوارتز-تورمالین رخنمون یافته در سنگ‌های متاپلیتی منطقه شاهکوه به روش ریز پردازش الکترونی. Li₂O و B₂O₃, H₂O به روشن عنصرستنجی (بر حسب درصد) محاسبه شده‌اند.

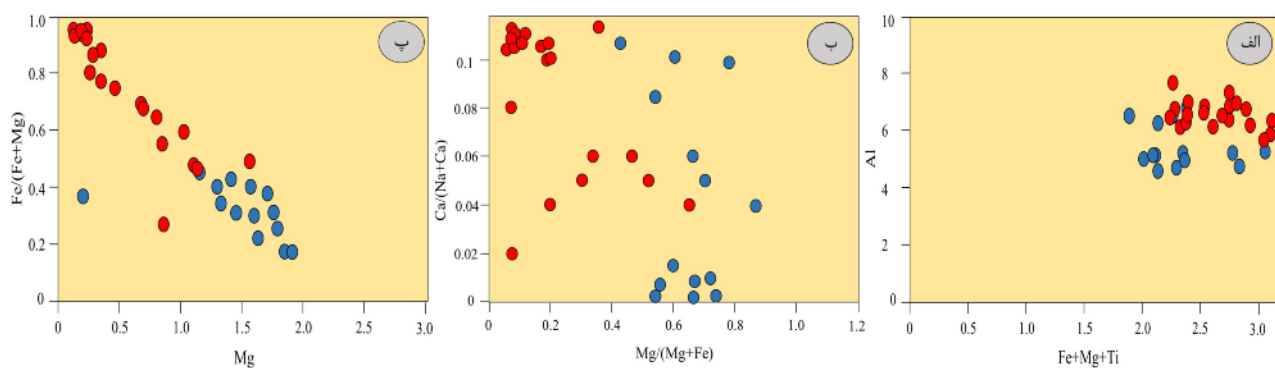
نقطه	۱	۲	۳	۴	۵	۶	۷	۸	۹	۱۰	۱۱	۱۲	۱۳	۱۴
SiO ₂	۳۶,۹	۳۸,۰۱	۳۷,۸۷	۳۶,۷۷	۳۵,۱۳	۳۶,۳۹	۳۸,۰۹	۳۸,۱۴	۳۸,۹۹	۳۶,۴۳	۳۹,۶۱	۳۹,۱۱	۳۷,۶۷	۳۶,۳۶
TiO ₂	۰,۷۷	۰,۲۸	۰,۵۲	۰,۷۳	۰,۹۱	۰,۶۶	۰,۲۵	۰,۸۷	۰,۹۸	۰,۵۷	۰,۴۱	۰,۴۵	۰,۹۶	۰,۱۸
Al ₂ O ₃	۳۴,۰۳	۲۹,۷۸	۳۵,۱۶	۳۳,۶۷	۲۸,۱۲	۲۸,۱۹	۲۴,۷۲	۳۰,۸۲	۲۹,۹۴	۳۲,۱۴	۲۹,۶۸	۳۱,۹۴	۳۱,۰۱	۲۸,۰۵
FeO	۳,۳۳	۶,۱۸	۲,۰۸	۴,۱۷	۹,۱۶	۸,۶۶	۴,۲۹	۴,۲۹	۶,۰۷	۷,۱۸	۶,۲۴	۵,۱۶	۶,۲۸	۹,۸۷
MnO	۰,۲۵	۰,۱۲	۰,۰۵	۰,۲۱	۰,۱۲	۰,۰۱	۰,۰۸	۰,۰۶	۰,۱۳	۰,۱۲	۰,۰۶	۰,۰۱	۰,۱۱	۰,۲۱
MgO	۷,۹۷	۷,۵۲	۶,۷۴	۸,۰۵	۹,۳۴	۹,۴۵	۶,۹۴	۸,۶۳	۷,۲۸	۷,۴۸	۸,۰۶	۷,۴۴	۷,۶۵	۷,۲۵
CaO	۱,۰۶	۱,۳۷	۲,۰۶	۰,۸۶	۰,۰۱	۱,۰۲	۰,۰۶	۰,۰۴	۰,۶۷	۰,۰۲	۱,۰۴	۰,۰۹	۱,۳۸	۱,۱۶
Na ₂ O	۱,۹۹	۱,۹۶	۱,۴۳	۱,۲۹	۲,۱۹	۱,۱۳	۱,۱۸	۱,۴۴	۱,۵۷	۰,۸۷	۰,۸۹	۱,۱۸	۰,۴۶	۲,۱۹
K ₂ O	۰,۰۲	۰,۰۱	۰,۰۹	۰,۰۹	۰,۰۴	۰,۰۶	۰,۰۵	۰,۰۱	۰,۰۵	۰,۰۴	۰,۰۱	۰,۰۶	۰,۰۳	۰,۰۷
F	۰,۵۷	۰,۲۱	۰,۷۵	۰,۲۶	۰,۰۸	۰,۷۷	۰,۲۱	۰,۳۲	۰,۲۸	۰,۱۵	۰,۳۸	۰,۲۴	۰,۴۲	۰,۷۳
H ₂ O	۲,۸۷	۳,۸۴	۲,۶۴	۲,۴۶	۳,۲۲	۳,۶۱	۳,۴۴	۳,۶۷	۳,۵۵	۳,۲۹	۳,۲۷	۳,۳۹	۳,۴۵	۳,۴۶
B ₂ O ₃	۱۰,۰۲	۱۰,۱۲	۱۰,۵۰	۱۰,۲۲	۹,۶۵	۹,۸۳	۱۰,۳۵	۱۰,۱۵	۱۰,۲۶	۱۰,۰۴	۱۰,۳۲	۱۰,۳۳	۱۰,۱۵	۹,۷۷
Li ₂ O	۰,۶۸	۰,۸۸	۰,۶۶	۰,۸۷	۰,۷۲	۰,۷۴	۰,۷۸	۰,۸۵	۰,۹۰	۰,۶۶	۰,۷۲	۰,۶۴	۰,۵۶	۰,۷۸
O=F	۰,۲۴	۰,۰۹	۰,۳۲	۰,۰۳	۰,۰۳	۰,۳۲	۰,۰۹	۰,۱۳	۰,۰۸	۰,۴۱	۰,۲۲	۰,۱۱	۰,۱۸	۰,۱۴
مجموع	۱۰۰,۷	۱۰۰,۳	۱۰۰,۸	۱۰۰,۶	۹۸,۷۳	۱۰۰,۸	۹۹,۴۲	۱۰۰,۷	۱۰۰,۷	۱۰۰,۴	۱۰۰,۹	۱۰۰,۱	۱۰۰,۳	۱۰۰,۲
فرمول ساختاری بر پایه آئیون (O, OH, F)														
Si ⁴⁺	۶,۰۱	۶,۲۵	۶,۰۲	۶,۰۰	۶,۰۵	۶,۱۶	۶,۱۴	۶,۲۶	۶,۲۲	۶,۰۵	۶,۲۸	۶,۲۰	۶,۱۸	۶,۱۸
Al ^{۳+}	۰,۰۱	۰,۱۷	۰,۰۲	۰,۲۱	۰,۲۹	۰,۲۱	۰,۱۵	۰,۱۵	۰,۱۸	۰,۰۳	۰,۱۱	۰,۱۴	۰,۲۷	۰,۰۳
مجموع جایگاه-T	۶,۰۲	۶,۴۲	۶,۰۴	۶,۲۱	۶,۳۴	۶,۳۷	۶,۲۹	۶,۴۱	۶,۵۰	۶,۰۸	۶,۴۹	۶,۴۴	۶,۴۵	۶,۲۱
B ^{۳+}	۳,۰۰	۳,۰۰	۳,۰۰	۳,۰۰	۳,۰۰	۳,۰۰	۳,۰۰	۳,۰۰	۳,۰۰	۳,۰۰	۳,۰۰	۳,۰۰	۳,۰۰	۳,۰۰
Al ^{۳+}	۶,۰۰	۵,۴۸	۶,۰۰	۶,۰۰	۵,۴۰	۵,۳۳	۶,۰۰	۵,۶۶	۵,۴۴	۶,۰۰	۵,۳۷	۵,۷۸	۵,۶۹	۵,۳۳
مجموع جایگاه-Z	۶,۰۰	۶,۰۰	۶,۰۰	۶,۰۰	۶,۰۰	۶,۰۰	۶,۰۰	۶,۰۰	۶,۰۰	۶,۰۰	۶,۰۰	۶,۰۰	۶,۰۰	۶,۰۰
Al ^{۳+}	۰,۲۰	۰,۰۰	۰,۲۶	۰,۱۴	۰,۰۰	۰,۰۰	۰,۲۶	۰,۰۰	۰,۱۴	۰,۰۰	۰,۰۰	۰,۰۰	۰,۰۰	۰,۰۰
Ti ^{۴+}	۰,۰۹	۰,۳	۰,۰۵	۰,۰۸	۰,۱۱	۰,۰۸	۰,۰۲	۰,۱۰	۰,۱۱	۰,۰۶	۰,۰۴	۰,۰۵	۰,۱۱	۰,۰۲
Mg ^{۲+}	۱,۸۳	۱,۲۳	۱,۵۱	۱,۸۵	۱,۶۷	۱,۵۹	۱,۵۸	۱,۶۷	۱,۱۱	۱,۷۵	۱,۲۱	۱,۴۸	۱,۴۷	۱,۰۷
Mn ^{۲+}	۰,۰۳	۰,۰۱	۰,۰۰	۰,۰۲	۰,۰۱	۰,۰۰	۰,۰۱	۰,۰۰	۰,۰۱	۰,۰۰	۰,۰۰	۰,۰۰	۰,۰۱	۰,۰۲
Fe ^{۲+}	۰,۴۳	۰,۸۰	۰,۲۶	۰,۵۴	۱,۲۵	۱,۱۶	۰,۵۴	۰,۵۵	۰,۷۸	۰,۹۴	۰,۸۰	۰,۶۶	۰,۸۱	۱,۳۳
Li ⁺ *	۰,۴۰	۰,۹۰	۰,۸۸	۰,۳۳	۰,۰۰	۰,۱۶	۰,۵۶	۰,۶۶	۰,۹۶	۰,۰۶	۰,۹۲	۰,۸۰	۰,۵۷	۰,۵۴
مجموع جایگاه-Y	۳,۰۰	۳,۰۰	۳,۰۰	۳,۰۰	۳,۰۰	۳,۰۰	۳,۰۰	۳,۰۰	۳,۰۰	۳,۰۰	۳,۰۰	۳,۰۰	۳,۰۰	۳,۰۰
Ca ^{۲+}	۰,۰۷	۰,۰۲	۰,۰۳	۰,۰۴	۰,۰۰	۰,۰۷	۰,۰۱	۰,۰۰	۰,۰۱	۰,۰۰	۰,۰۷	۰,۰۱	۰,۰۳	۰,۲۰
Na ⁺	۰,۵۹	۰,۸۹	۰,۷۱	۰,۶۸	۱,۰۰	۰,۶۶	۰,۶۴	۰,۷۳	۰,۷۶	۰,۵۷	۰,۵۶	۰,۶۴	۰,۴۴	۰,۹۹
K ⁺	۰,۰۰	۰,۰۰	۰,۰۱	۰,۰۱	۰,۰۰	۰,۰۱	۰,۰۱	۰,۰۰	۰,۰۱	۰,۰۰	۰,۰۰	۰,۰۱	۰,۰۰	۰,۰۱
مجموع جایگاه-X	۰,۶۶	۰,۹۱	۰,۷۵	۰,۷۳	۱,۰۰	۰,۷۴	۰,۶۶	۰,۷۳	۰,۷۸	۰,۵۷	۰,۶۳	۰,۶۶	۰,۴۷	۱,۲
OH ⁻	۴,۰۰	۴,۰۰	۴,۰۰	۴,۰۰	۴,۰۰	۴,۰۰	۴,۰۰	۴,۰۰	۴,۰۰	۴,۰۰	۴,۰۰	۴,۰۰	۴,۰۰	۴,۰۰
F ⁻	۰,۳۰	۰,۱۱	۰,۳۹	۰,۰۴	۰,۴۰	۰,۱۰	۰,۱۶	۰,۱۲	۰,۱۰	۰,۰۲	۰,۲۳	۰,۲۱	۰,۱۵	



شکل ۶ مقایسه موقعیت رگه‌های کوارتز-تورمالین موجود در توده گرانیتی (دایره‌های قرمزرنگ) [۱۰] با رگه‌های موجود در سنگ‌های متاپلیتی (دایره‌های آبی‌رنگ) در، (الف) نمودار $\text{Fe}/(\text{Fe}+\text{Mg})$ نسبت به $\text{Na}/(\text{Na}+\text{Ca})$ [۱۵]، (ب) نمودار $\text{X}\text{-site vacancy}/\text{X}\text{-site vacancy}+\text{Na}$ نسبت به $\text{Fe}/(\text{Fe}+\text{Mg})$ [۱۷] و (پ) نمودار مثبتی $\text{Ca-X}\text{-site vacancy}-\text{Na}+\text{K}$ نسبت به $\text{Fe}/(\text{Fe}+\text{Mg})$ [۱۶]

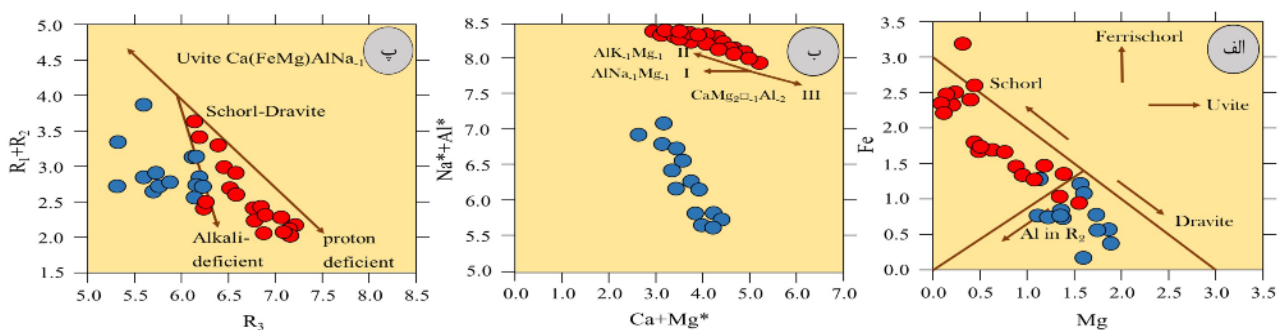
تورمالین سنگ‌های دگرگونی متاپلیتی در اثر هجوم فاز تأخیری سیال‌های گرمابی از منیزیم غنی شده‌اند و در نتیجه آلودگی بیشتری را به احتمال بسیار در ارتباط با واحدهای دگرگونی میزبان خود بدليل نقش بیشتر سیال‌سنگ، داشته‌اند. نمودار Mg نسبت به $\text{Fe}/(\text{Fe}+\text{Mg})$ (شکل ۷ پ) برای نمایش غنی‌شدگی تورمالین‌ها از منیزیم و آهن است چنان‌که در این نمودار، دیده می‌شود، نمونه‌های تورمالین موجود در رگه‌های کوارتز-تورمالین سنگ‌های متاپلیتی منطقه شاهکوه برخلاف رگه‌های تورمالین‌دار موجود در توده گرانیتی شاهکوه، دارای بیشترین مقدار Mg و کمترین مقدار $\text{Fe}/(\text{Fe}+\text{Mg})$ هستند [۱۹].

نمودار (Fe+Mg+Ti) نسبت به Al (شکل ۷ الف) برای بررسی میزان جدایش تورمالین‌های منطقه مورد بررسی استفاده شد [۱۵]. چنان‌که در این نمودار دیده می‌شود، تورمالین‌های مورد بررسی در هردو میزبان متاپلیتی و گرانیتی دارای مقدار بالایی از آهن، منیزیم و تیتانیوم هستند و در نتیجه جدایش یافته‌گی کمی دارند (شکل ۷ الف). نمودار $\text{Ca}/(\text{Ca}+\text{Na})$ نسبت به $\text{Mg}/(\text{Mg}+\text{Fe})$ [۱۸] برای بررسی میزان آلودگی رگه‌های کوارتز-تورمالین با سنگ‌های مافیک منطقه بکار رفت که بر این اساس، هر چه میزان آلودگی بیشتر باشد، مقدار منیزیم تورمالین‌ها بیشتر است. چنان‌که در این نمودار (شکل ۷ ب)، دیده می‌شود، رگه‌های کوارتز-



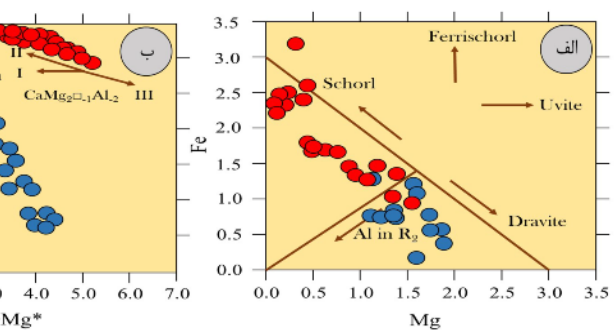
شکل ۷ نمودارهای دوتایی عناصر برای ترکیب انواع تورمالین‌های بروزی شده در سنگ‌های متاپلیتی و توده گرانیتی منطقه شاهکوه: (الف) نمودار Al نسبت به $\text{Fe}/(\text{Fe}+\text{Mg}+\text{Ti})$ [۱۵]، (ب) نمودار $\text{Mg}/(\text{Mg}+\text{Fe})$ نسبت به $\text{Ca}/(\text{Ca}+\text{Na})$ [۱۸]، (ج) $\text{Mg}/(\text{Mg}+\text{Fe})$ نسبت به $\text{Fe}/(\text{Fe}+\text{Mg})$ [۱۹]

کانی است. همچنین گستردگی بیشتر Na در تورمالین‌های یادشده نشان‌دهنده فعالیت یک واکنش جانشینی با حضور Ca نیست، بلکه نشان می‌دهد که مؤلفه جانشینی خالی‌شدن از قلیایی‌ها واکنش اصلی است. براساس نمودار $\text{Ca}+\text{Mg}^*$ نسبت به Al^*+Na^* ، نمونه‌ها یک روند خطی وارون را به نمایش می‌گذارند [۲۲] که نشان‌دهنده درجه کم جانشینی قلیایی‌ها یا اوتیت در جایگاه X است [۲۳] (شکل ۸ ب). به منظور بررسی وجود یا نبود واکنش‌های جانشینی عنصری در ترکیب تورمالین‌های مورد بررسی در منطقه شاهکوه، از نمودار R_2^+ + R_3 استفاده شد [۲۰، ۱۹]. با استفاده از این نمودار می‌توان، تبادل اوتیت با فرمول $\{\text{Ca}(\text{Fe},\text{Mg})\}\{\text{NaAl}\}_{-1}$ ، تبادل پروتون زدایی با ترکیب $\text{Al}_{1.33}\text{Ti}$ ، و تبادل تهی‌شدن از قلیایی را بررسی کرد. براساس این نمودار، تورمالین‌های موجود در سنگ‌های متاپلیتی منطقه شاهکوه تا حدی فقیر از آلومینیوم بوده و دارای روندی خارج از گستره تورمالین‌های ناقص از نظر قلیایی هستند که نشان‌دهنده نقش بیشتر سیال-سنگ در تشکیل تورمالین در رگه‌های با میزانی متاپلیتی است. از طرفی، برخی از نمونه‌ها همرونده با تورمالین‌های ناقص از نظر قلیایی هستند و نیز آن را قطع نموده‌اند. این غنی‌شدگی نسبی از آلومینیوم ناشی از جانشینی $(\text{Mg}, \text{Fe})\{\text{Na}\}_{-1}\{\text{Al}\}_{-1}$ و نشان‌دهنده تورمالین‌های ناقص از نظر قلیایی و نیز ناشی از جانشینی $(\text{Mg}, \text{Fe})\{\text{OH}\}_{-1}\{\text{AlO}\}_{-1}$ و نشان‌دهنده تورمالین‌های ناقص از نظر پروتون زدایی است [۱۹].



شکل ۸ (الف) موقعیت تورمالین‌های مورد بررسی بر روی نمودار Fe/Mg نسبت به Na^*+Al^* که ترکیب شورلیت و دراویت روی خط $\sum(\text{Fe}+\text{Mg}) = 3$ قرار می‌گیرند [۲۰]، (ب) نمودار $\text{Ca}+\text{Mg}^*$ نسبت به Na^*+Al^* که یک پردازش خطی وارون را نشان می‌دهد که نشان‌دهنده درجه کم جانشینی اوتیت است، (پ) نمودار $\text{R}_3(\text{Al}+1.33\text{Ti})$ نسبت به $\text{R}_1(\text{Ca}+\text{Na}) + \text{R}_2(\text{Fe}+\text{Mg}+\text{Mn})$. که نشان‌دهنده ترکیب آرمانی شورلیت - دراویت است (محل تقاطع بردارها). این نمودارها بیانگر جانشینی اوتیت (بردار بالایی) و جانشینی‌های تورمالین‌های ناقص از نظر پروتون زدایی و قلیایی (بردارهای پایینی) هستند.

به منظور بررسی واکنش‌های جانشینی ترکیب تورمالین‌ها از نمودارهای مختلف (شکل ۸) استفاده شد. در نمودار Mg نسبت به Fe [۲۰]، ترکیب شورل و دراویت روی خط $\sum(\text{Fe}+\text{Mg}) = 3$ قرار دارد و همه نمونه‌های زیر این خط دارای $\sum(\text{Fe}+\text{Mg}) < 3$ هستند و به صورت جانشینی Al در جایگاه Y در می‌آیند، چنانکه از این نمودار پیداست، هر چه مقدار $\sum(\text{Fe}+\text{Mg})$ کمتر باشد، میزان جانشینی Al در جایگاه Y بیشتر می‌شود (جایگاه Y آنها خالی است). در بالای خط شورل - دراویت نیز، مؤلفه تبادلی پوندر اویت یا فریشویل با فرمول FeAl_1 و اوویت وجود دارند. این نقص در جایگاه Y را می‌توان با فعالیت مؤلفه‌ی جانشینی البائیت- $\text{Al}(\text{Fe},\text{Mg})_{-22+\text{Li}}$ توجیه نمود؛ یعنی عملکرد این جانشینی جایگزینی مقادیری از Fe و Mg در جایگاه Y با Li و Al می‌شود. براساس این نمودار (شکل ۸ الف)، تعدادی از نمونه‌های رگه‌های کوارتز-تورمالین سنگ‌های متاپلیتی منطقه شاهکوه دارای Al کمتر در جایگاه Y و بدون Al در جایگاه Z هستند که در گستره دراویت با یعنی مقدار Mg بیش از قرار دارند. از سوی دیگر، رگه‌های تورمالین‌دار موجود در توهد گرانیتی شاهکوه دارای Al کمتر در جایگاه Z و بدون Al در جایگاه Y هستند. این امر نشانگر از جانشینی Fe^{3+} به جای Al و مقادیر بالای Fe نسبت به Mg و ترکیب شورلیت است. در مقابل، بر پایه نمودار شکل ۸ ب [۲۱]، هر دو نوع تورمالین موجود در رگه‌های کوارتز-تورمالین با میزانی سنگ‌های متاپلیتی و گرانیتی شاهکوه دارای مقادیر Ca پایین (اغلب کمتر از 0.1 apfu) هستند که نشانگر مقادیر ناچیز اوتیت در ساختار این

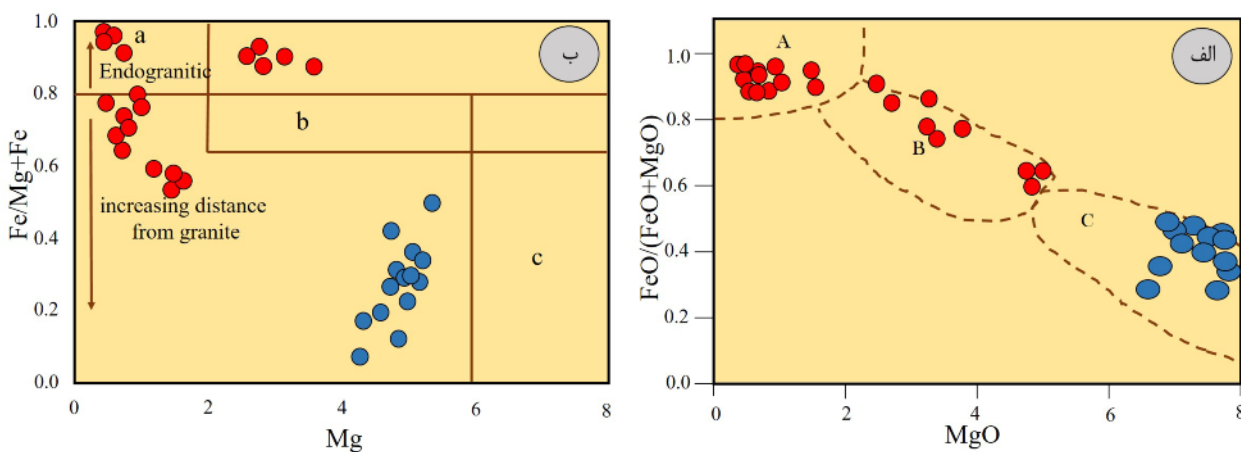


شکل ۸ (الف) موقعیت تورمالین‌های مورد بررسی بر روی نمودار Fe/Mg نسبت به Na^*+Al^* که ترکیب شورلیت و دراویت روی خط $\sum(\text{Fe}+\text{Mg}) = 3$ قرار می‌گیرند [۲۰]، (ب) نمودار $\text{Ca}+\text{Mg}^*$ نسبت به Na^*+Al^* که یک پردازش خطی وارون را نشان می‌دهد که نشان‌دهنده درجه کم جانشینی اوتیت است، (پ) نمودار $\text{R}_3(\text{Al}+1.33\text{Ti})$ نسبت به $\text{R}_1(\text{Ca}+\text{Na}) + \text{R}_2(\text{Fe}+\text{Mg}+\text{Mn})$. که نشان‌دهنده ترکیب آرمانی شورلیت - دراویت است (محل تقاطع بردارها). این نمودارها بیانگر جانشینی اوتیت (بردار بالایی) و جانشینی‌های تورمالین‌های ناقص از نظر پروتون زدایی و قلیایی (بردارهای پایینی) هستند.

مقادیر پایین Mg نسبت به Fe هستند. در منطقه شاهکوه، تورمالین‌های با میزانی سنگ‌های متاپلیتی، به دلیل پایین بودن مقدار F، Al و نسبت $(\text{Fe} + \text{Mg})$ و همچنین قرارگیری در خارج از گستره بردارهای تهی‌شده از عناصر قلیایی و پروتون‌زدایی، نامخوانی در مقادیر Fe و Mg و بالا بودن مقدار Mg نسبت به Fe، دارای ترکیب دراویتی هستند و به صورت بین شبکه‌ای و بر فلذسپارها در شرایط فاز تأخیری گرمابی به وجود آمداند. از سوی دیگر، به اعتقاد برخی پژوهشگران [۱۹]، تشکیل تورمالین در سنگ‌های متاپلیتی به دلیل جدایش تأخیری یک سیال غنی از بور (B) از یک ماقمایی گرانیتی است. این در حالی است که سیال شامل تورمالین در واحد گرانیت‌وئیدی در یک سامانه بسته با شرایط سیال پنوماتولیکی تشکیل شده است [۲۹]. افزون براین، برای تعیین سامانه ماقمایی تورمالین‌ها از نمودار $\text{FeO}/(\text{FeO} + \text{MgO})$ نسبت به MgO [۴۰] استفاده شد (شکل ۹). این نمودار نشان‌دهنده گستره تشکیل تورمالین‌های درون گرانیت تا نزدیک به توده گرانیت‌وئیدی (ماقمایی؛ A)، نزدیک به توده گرانیت‌وئیدی تا حدواسط (ماقمایی-گرمابی؛ B) و تورمالین‌های دور از توده گرانیت‌وئیدی (گرمابی؛ C) است. از آنجا که نسبت $\text{FeO}/(\text{FeO} + \text{MgO})$ در تورمالین‌های رگه‌های کوارتز-تورمالین رخنمون یافته در سنگ‌های متاپلیتی شاهکوه بین ۰/۲۹ تا ۰/۵۷ است، B از سیال‌های گرمابی شکل گرفته است و این تورمالین‌ها خاستگاه گرمابی و فاصله از منبع تغذیه‌کننده را نشان می‌دهند. این یافته‌ها ارتباط سیال‌های تورمالین‌ساز (دست کم برای رگه‌ها) با سنگ‌های متاپلیتی و توده گرانیتی شاهکوه و نیز تأمین دست کم بخشی از عناصر سازنده آنها (Fe, Mg, Al و B) را تأیید می‌کند. همچنین به عقیده سامسون و سینکلر [۴۱]، این امر نشان‌دهنده باز بودن سامانه ماقمایی و ایجاد سامانه گرمابی است. مقدار $\text{FeO}/(\text{FeO} + \text{MgO})$ نسبت به Mg در رگه‌های تورمالین‌دار موجود در توده گرانیتی شاهکوه حدود ۰/۹۹ تا ۰/۵۷ بوده که بیانگر نزدیک بودن به منبع تغذیه‌کننده است. به اعتقاد کاواتا و همکارش [۳۸]، ترکیب دراویت و بالا بودن مقدار منیزیم نسبت به آهن، نشانگر خاستگاه گرمابی تورمالین‌های است. بنابراین براساس نظر هنری و گویدوتی [۴۲]، تورمالین‌های واپسته به محیط‌های دگرگونی و تهنشستی دارای ترکیب بین دو عضو انتهایی دراویت و شورل هستند. بنابراین با توجه به شکل ۶ ب، می‌توان گفت که در منطقه شاهکوه همه تورمالین‌های موجود در رگه‌های کوارتز-تورمالین رخنمون یافته در سنگ‌های متاپلیتی متابلیتی با محیط‌های دگرگونی و تهنشستی در ارتباط هستند.

بحث

خاستگاه تورمالین‌های ایران پیش از این بررسی شده است [۲۵-۳۷]. تورمالین‌های گرمابی در مقایسه با تورمالین‌های ماقمایی دارای مقدار Al پایین‌تر [۱۹] و کاستی کمتر در جایگاه X [۲۰] هستند. به اعتقاد لاندن و منینگ [۲۰]، ترکیب تورمالین‌های ماقمایی-گرمابی دور از منبع گرمابی (توده گرانیت‌وئیدی) به سمت خارج بردارهای تهی‌شده از عناصر قلیایی $\text{Ca}^{+2}\text{Na}^{+1}\text{Al}^{+3}\{\text{Na}(\text{Fe}, \text{Mg})\}$ و پروتون‌زدایی یا $\text{AlO}^{+2}\{\text{Mg}, \text{Fe}\}\text{OH}^{-1}$ با فرمول O-OH (تبادل) با شکل ۸ تهی‌شدن از پروتون (B) از گرمابی بین این بردارها قرار دارد. بنابراین با توجه به شکل ۸ پ، بیشتر نمونه‌های رگه‌های کوارتز-تورمالین موجود در سنگ‌های متاپلیتی شاهکوه مایل به سمت خارج این دو بردار هستند و در شرایط سیال تأخیری با منیزیم بالا و در فاصله دورتر از توده گرانیت‌وئیدی به وجود آمداند. این در حالی است که رگه‌های تورمالین‌دار موجود در توده گرانیتی شاهکوه در گستره بین بردارهای تهی‌شده از قلیایی‌ها و پروتون‌زدایی قرار دارند و دارای خاستگاه ماقمایی-گرمابی در دورتر از توده گرانیت‌وئیدی به وجود آمداند. این در حالی است که رگه‌های لوكوگرانیتی هستند. همچنین تورمالین‌های گرمابی $\text{Fe}(\text{Fe} + \text{Mg})$ در مقایسه با تورمالین‌های ماقمایی عدد آهن ($\text{Mg}/(\text{Mg} + \text{Fe})$) بالاتری دارند، بنابراین با توجه به شکل ۶ ب، بیشتر تورمالین‌های رگه‌های کوارتز-تورمالین رخنمون یافته در سنگ‌های متاپلیتی شاهکوه در مقایسه با تورمالین‌های رگه‌های کوارتز-تورمالین موجود در توده گرانیتی شاهکوه [۱۰] دارای عدد آهن پایین‌تر و عدد منیزیم بالاتری هستند. تورمالین‌های برآمده از سیال ماقمایی در اصل دارای ترکیب شورلیت هستند [۱۵]، در حالی که رگه‌های کوارتز-تورمالین رخنمون یافته در سنگ‌های متاپلیتی منطقه شاهکوه دارای ترکیب عمده دراویت و ناشی از واکنش سیال گرمابی با سنگ دیواره و نقش بیشتر سیال‌ها در تشکیل این تورمالین‌ها هستند (شکل ۸ الف و ب)، به اعتقاد کاواتا و پاکسو [۳۸]، نامخوانی شدید بین Fe^{2+} و Mg و بالا بودن مقدار Mg نسبت به Fe^{2+} در تورمالین از نشانه‌های تشکیل آن از سیال‌های گرمابی دگرسان‌کننده است. با توجه به شکل ۸ الف، مقدار Mg همه نمونه‌های رگه‌های کوارتز-تورمالین موجود در سنگ‌های متاپلیتی شاهکوه به جز یک نمونه، بیش از مقدار Fe آنها است. در این نمونه‌ها، نامخوانی مشخصی بین Mg و Fe دیده می‌شود. این در حالی است که نمونه‌های رگه‌های تورمالین‌دار موجود در توده گرانیتی شاهکوه دارای



شکل ۹ الف) نمودار $\text{FeO}/(\text{FeO}+\text{MgO})$ نسبت به MgO و ب) نمودار $\text{Fe}/\text{Mg+Fe}$ نسبت به Mg که نشان‌دهنده گستره تشکیل تورمالین‌های درون گرانیت تا نزدیک به توده گرانیتوئیدی (A)، نزدیک به توده گرانیتوئیدی تا حدواتسط (B) و تورمالین‌های دور از توده گرانیتوئیدی هستند [۴۰].

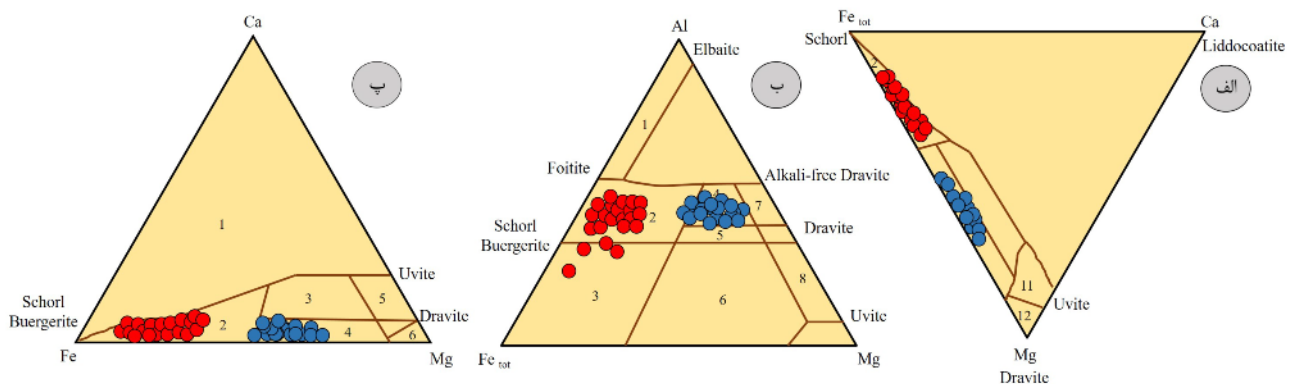
های کوارتز-تورمالین محدود است (شکل ۱۱ الف). کانه‌زایی قلع در این منطقه نیز پیشرter توسط اسماعیلی [۷] بررسی شده است، که او کانه‌زایی در منطقه شاهکوه را بیشتر در رگه‌های کوارتز-تورمالین همراه با گرانیتوئید و به مقدار کمتر در پهنه‌های برشی شده سنگ‌های متاپلیتی، در لبه شمالی و شمال غربی توده گرانیتی تمرکز می‌داند. در این پژوهش، نمونه‌ها از برخوردگاه رگه کوارتز-تورمالین با واحد لوکوگرانیتی نمونه‌گیری شده‌اند. نمونه با بیشترین غلظت قلع، مربوط به یکی از رگه‌های کوارتز-تورمالینی است که در برخوردگاه توده لوکوگرانیتی با سنگ میزان رخنمون دارد. مقدار قلع در این مکان از بیش از ۵۰۰ گرم بر تن در رگه‌های کوارتز-تورمالین تا حدود ۸/۱ گرم بر تن در واحد لوکوگرانیتی کاهش می‌یابد. مقدار قلع در نمونه‌های پرعيار اين نوع رگه‌ای (منطقه شاهکوه) نیز بين ۴۷ تا ۵۰۰ گرم بر تن متغير است که هنوز تا آستانه اقتصادي عيار قلع در کانسارهای پورفیری (۴۵۰۰ گرم بر تن) بسيار فاصله دارد [۴۸]. از سویی با توجه به عيار سایر عناصر چون مس، نقره و آرسنیک، شواهد غنی‌شدگی عناصر دیگر نیز وجود دارد (جدول ۳ و شکل ۱۱ ب) که می‌تواند نشانگر یک فرآیند ثانویه مانند محلول‌های اسیدی و واکنش‌های گرمابی باشد که بصورت یک فاز تاخیری بر این مجموعه اثر گذاشته است. شاید این فاز سبب شده است تا غنی‌شدگی قلع و تنگستن بصورت موضعی در این ناحیه رخ دهد. بنابراین، با توجه به پراکندگی و عيار پایین قلع در رگه‌های کوارتز-

شکل ۱۰ نامگذاری تورمالین‌ها بر نمودارهای مثلثی- $\text{Ca}-\text{Al}-\text{Fe}-\text{Mg}$ [۲۰] و $\text{Fe}-\text{Mg}$ [۴۳، ۴۲] را نشان می‌دهد، این براساس، تورمالین‌های رگه‌های کوارتز-تورمالین رخنمون یافته در سنگ‌های متاپلیتی شاهکوه به عضو انتهایی شورلیت-دراویت با تمایل به سمت دراویت وابسته هستند که بیانگر بالا بودن مقدار منیزیم در مقایسه با آهن در ترکیب شیمیایی نمونه‌ها به احتمال بسیار وجود سیال‌های غنی از B از خاستگاه گرمابی است [۴۴]. رگه‌های تورمالین‌دار موجود در توده گرانیتی شاهکوه نزدیک به گستره شورلیت و دارای مقادیر بالای آهن و از خاستگاه ماگمایی- گرمابی هستند. همچنین در این نمودارها، سنگ خاستگاه تورمالین نیز قابل تشخیص است. بیشتر تورمالین‌های سنگ‌های متاپلیتی در گستره سنگ‌های کوارتز-تورمالین و متاپلیت‌های فقیر از کلسیم قرار دارند. بر عکس، همه تورمالین‌های رگه‌های تورمالین-دار موجود در توده گرانیتی در گستره سنگ‌های کوارتز-تورمالین غنی از Fe^{3+} و گرانیتوئیدهای فقیر از لیتیم قرار دارند.

در مورد حضور قلع در ساختار تورمالین پیشرter نیز گزارش‌های مشابهی ارائه شده‌اند. به اعتقاد برخی پژوهشگران [۴۵-۴۷]، تورمالین‌های نوع شورل در گرانیت‌های قلع دار و پگماتیت‌های معمولی به ترتیب ۳۰، ۴۷۰ و ۶۰ ppm قلع را به عنوان یک عنصر فرعی در ساختار خود جای می‌دهند. براساس نتایج تجزیه برخی از واحدهای سنگی منطقه شاهکوه به روش ICP-MS (جدول ۳)، کانه‌زایی قلع و تاحدی تنگستن به رگه-

میانبارهای ریز کاسیتیریت) در ساختار تورمالین‌های موجود در رگه‌های کوارتز-تورمالین لبه توده لوکوگرانیتی شاهکوه حضور دارد. بنابراین، تصور وجود کانسنگ قلع در منطقه شاهکوه منطقی نیست.

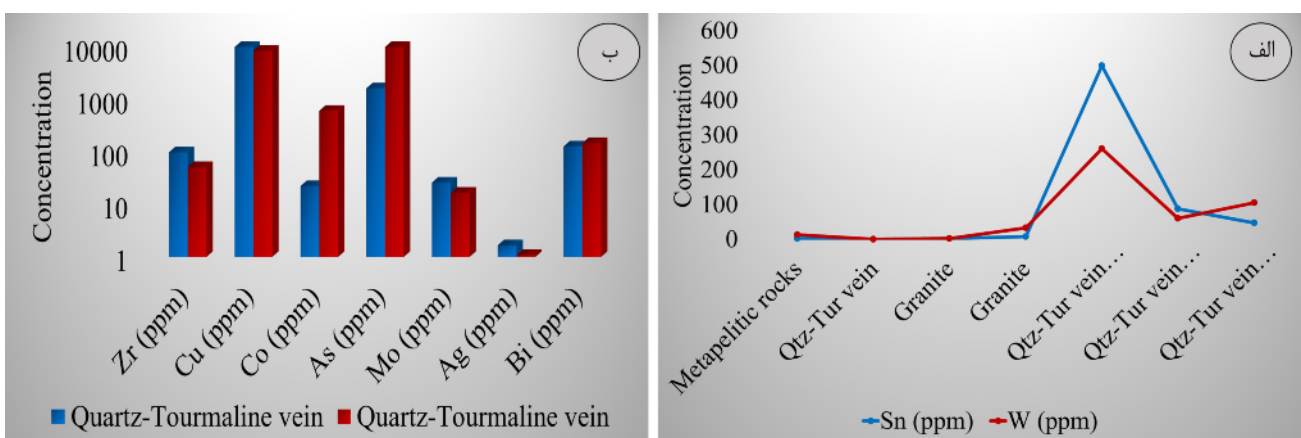
تورمالین، اهمیت اقتصادی قلع در این منطقه پایین است. اسماعیلی [۷] بیان کرد که عیار قلع در ۹۳ درصد از نمونه‌های تجزیه شده از رگه‌های کوارتز-تورمالین کمتر از ۱٪ درصد بوده است و نشان داد که قلع به عنوان یک عنصر فرعی (به صورت



شکل ۱۰ موقعیت نمونه‌های مورد بررسی در نمودارهای مثلثی الف) Ca-Fe(tot)-Mg [۴۲]، ب) Ca-Fe-Mg [۲۰] و پ) Ca-Fe(tot)-Mg [۴۲, ۴۲]. ۱: گرانیتوئیدهای غنی از لیتیوم، پگماتیتها و آپلیت‌های وابسته به آنها، ۲: گرانیتوئیدهای فقیر از لیتیوم، پگماتیتها و آپلیت‌های وابسته، ۳: سنگ‌های کوارتز تورمالین سرشار از Fe^{3+} ، ۴: متابلیت‌ها و متاپسامیت‌های همزیست با یک فاز اشباع از آلومینیوم، ۵: متابلیت‌ها و متاپسامیت‌های ناهمزیست با یک فاز اشباع از آلومینیوم، ۶: سنگ‌های سیلیکاتی آهکی، متابلیت‌ها و سنگ‌های کوارتز-تورمالین سرشار از Fe^{3+} ، ۷: فرامافیک‌های دگرگون شده و تهنشست‌های دگرگون شده غنی از وانادیوم و کروم، ۸: متاکربنات‌ها و متاپیروکسنیت‌ها، ۹: سنگ‌های سیلیکاتی آهکی، متابلیت‌ها و متاپسامیت‌های غنی از کلسیم، ۱۰: سنگ‌های کوارتز تورمالین، متاپسامیت‌ها و متاپلیت‌های فقیر از کلسیم، ۱۱: متاکربنات‌ها و ۱۲: فرامافیک‌های دگرگون شده).

جدول ۳ نتایج تجزیه شیمیایی برخی عناصر اصلی در واحدهای سنگی منطقه شاهکوه (مقادیر عناصر بر حسب ppm).

	سنگ‌های متاپلیتی	رگه کوارتز- تورمالین	گرانیت	گرانیت	رگه کوارتز- تورمالین (میزان گرانیت)	رگه کوارتز- تورمالین (میزان گرانیت)	رگه کوارتز- تورمالین (میزان گرانیت)
Sn	۲,۹	۰,۲	۲,۸	۸,۱	>۵۰۰	۸۸,۶	۴۷,۷
W	۱۲,۹	۰,۴	۲,۴	۲۳,۵	۲۶۱	۶۱,۲	۱۰۵,۵
Zr	-	-	-	-	۹۸,۵	۵۱,۸	-
Cu	-	-	-	-	>۱۰۰۰	۸۵۲۰	-
Co	-	-	-	-	۲۲,۴	۶۰,۹	-
As	-	-	-	-	۱۶۳۰	>۱۰۰۰	-
Mo	-	-	-	-	۲۶,۲	۱۶,۷۵	-
Ag	-	-	-	-	۱,۶۷	۱,۰۹	-
Bi	-	-	-	-	۱۲۷,۵	۱۴۸	-



شکل ۱۱ الف) الگوی تغییرات عناصر قلع و تنگستن در سنگ‌شناسی‌های مختلف منطقه شاهکوه، ب) نمودار فراوانی غلظت عناصر جزئی در رگه‌های کوارتز-تورمالین.

کوارتز-تورمالین دار غنی از Fe^{3+} و گرانیتوئیدهای فقیر از لیتیم هستند. هجوم سیال‌های غنی از کربنات و همچنین غنی از بور می‌تواند سبب رخداد پدیده تورمالین‌زایی به صورت رگه‌ای در سنگ‌های متاپلیتی شده باشد. براساس پژوهش‌های پیشین [۷] و فعلی بیانگر وجود کانه‌زایی قلع در توده گرانیتوئیدی شاهکوه، حضور این عنصر به صورت محدود و در مقادیر کم (بیش از ۵۰۰ گرم در تن) در رگه‌های کوارتز-تورمالین موجود در لبه توده لولکوگرانیتی شاهکوه به اثبات رسیده است. شواهد مربوط به حضور کانی مستقل قلع دار در بررسی‌های کانی-شناسی بدست نیامد وجود این کانی فقط براساس یافته‌های ریزپردازش الکترونی کانی تورمالین موجود در این رگه‌ها [۷]. برداشت می‌شود. در نتیجه کانسنگ اقتصادی قلع را نمی‌توان در توده آذرین نفوذی شاهکوه در نظر گرفت.

مراجع

- [1] Tadaiion-Eslami A., Lankarani j., "Report of Geochemical Exploration and Heavy Minerals in Deh Salam area (Southeast of Khorasan Province)", Geological Survey of Iran (1974).
- [2] Mobasher A., "Systematic geochemical exploration in the Deh Salam area of Shahkooh", Journal of Earth Sciences 2 (1992) 22–35.
- [3] Esmaeily Dahej N.A., "tin exploration project, second part: tin geochemical exploration in Shahkuh and Chah Kalb areas (South of Birjand - East of Iran)", Department of Geology and Exploration, Prakouh Engineering Company (1993).

برداشت

میزبان رگه‌های کوارتز-تورمالین منطقه شاهکوه سنگ‌های متاپلیتی و لوکوگرانیتی هستند. ترکیب کانی‌شناسی این رگه‌ها شامل کوارتز + تورمالین + فلدسپار + موسکویت است. براساس نمودارهای مختلفی که برای نام‌گذاری تورمالین‌ها رسم شد (شکل ۶)، بیشتر تورمالین‌های رگه‌های کوارتز-تورمالین رخمنویافته در سنگ‌های متاپلیتی منطقه شاهکوه از نوع دراویت بوده و تورمالین‌های مربوط به رگه‌های تورمالین دار موجود در توده لوکوگرانیتی دارای ترکیب شورلیت هستند. هر دو نوع تورمالین در رده تورمالین‌های قلیایی قرار دارند. نبود تورمالین‌های خودشکل در میزبان متاپلیتی، رگه‌ای بودن تورمالین‌ها، دور بودن از منبع گرمایی (توده گرانیتوئیدی)، بالا بودن مقدار منیزیم و تمایل به قرار گرفتن در خارج از گستره بردارهای مربوط به تورمالین‌های ناقص از نظر پروتون‌ها و قلیایی‌ها (شکل ۶ پ) نشان‌دهنده خاستگاه ماگمایی – گرمایی با نقش بیشتر واکنش سیال-سنگ در این تورمالین‌هاست این شواهد همچنین نشانگر ارتباط تورمالین‌ها با سنگ‌های کوارتز-تورمالین دار و متاپلیت‌های فقیر از کلسیم هستند. برعکس، تورمالین‌های مربوط به رگه‌های تورمالین دار موجود در توده لوکوگرانیتی شاهکوه به دلیل قرار گرفتن در گستره بین بردارهای نهی‌شدگی از نظر قلیایی و پروتون‌زدایی و نزدیک بودن به منبع گرمایی دارای شرایط ماگمایی – گرمایی، وابسته به سیال پنوماتولیکی شامل بور و در ارتباط با سنگ‌های

- [14] Foit F.F.Jr., Rosenberg P. E., "Coupled substitutions in the tourmaline group": Contr. Mineralogy Petrology, 62 (1977) 109-127.
- [15] Slack J.F., Palmer M.R., Stevens B.P.J., Barnes R.G., "Origin significance of tourmaline-rich rocks in the Broken Hill district, Australia", Economic Geology 88 (1993) 505-541.
- [16] Selway J.B., "Compositional Evolution of Tourmaline in Granitic Pegmatites", Ph.D. thesis, University of Manitoba, Winnipeg, Manitoba (1999).
- [17] Hawthorne F.C., Henry D.J., "Classification of the minerals of the tourmaline group", European Journal of Mineralogy 11 (1999) 201-215.
- [18] Tindle A.G., Breaks F.W., Selway J.B., "Tourmaline in petalite-subtype granitic pegmatites: evidence of fractionation and contamination from the Pakeagama Lake and Separation Lake areas of northwestern Ontario, Canada", Canadian Mineralogist 40 (2002) 753-788.
- [19] Trumbull R.B., Chaussidon M., "Chemical and boron isotopic composition of magmatic and hydrothermal tourmalines from the Sinceni granite-pegmatite system in Swaziland", Chemical geology 153 (1999) 125-137.
- [20] London D., Manning D.A.C., "Chemical variation and significance of tourmaline from SW England", Economic Geology 90 (1995) 495-519.
- [21] Pesquera A., Velasco F., "Mineralogy, geochemistry and geological significance of tourmaline-rich rocks from the Paleozoic Cinco Villas massif (western Pyrenees, Spain)", Contrib. Mineral. Petrology 129 (1997) 53-74.
- [22] Henry D. J., Dutrow B. L., Silverstone J., "Compositional asymmetry in replacement tourmaline: An example from the Tauern Window, Eastern Alps", Geological Materials Research 4 (2001) 1-19.
- [23] Pesquera A., Torres-Ruiz J., Gil-Grespo P. P., Velilla N., "Chemistry and genetic implications of tourmaline and Li-F-Cs micas from the Valdeflores area (Caceres, Spain)", American Mineralogist 84 (1999) 55-69.
- [24] Manning D.A.C., "Chemical and morphological variation in tourmalines from the Hub Kapong batholith of Peninsular Thailand", Mineralogical Magazine 45 (1982) 139-147.
- [4] Esmaeily Dahej N.A., "Report Map Geological-Mining of Shahkooh Castle deposit to scale of 1: 2000", Kahn Iran Consulting Engineers (1996).
- [5] Esmaeily D., Nedelec A., Valizadeh M.V., Moore F., Cotton J., "Origin of tin mineralization in the Jurassic Shah-Kuh granite of Eastern Iran", Metallogeny, Reveiw and prospectives, Symposiom in honour of the retirement of Bernard Poty. Universite Henri Poincare, Nancy (France) (2000).
- [6] Sahandi M.R., Mohjjel M., "Study of the metamorphic rocks of Eastern Deh Salam (Central Lut) and study the time of the event of different stages of igneous metamorphism in this part of the country", Geological Survey of Iran (1983) 36.
- [7] Esmaeily D., "Petrology and geochronology of Shah-kouh granite bodie (South of Birjand), with a special approach to tin Mineralization", PhD Thesis, Tarbiat Modarres University (2001) 296.
- [8] Esmaeily D., Valizadeh M.V., Hasan zadeh j., "Petrologic diversity and K-Ar datings of Shah-kuh pluton (South of Birjand)", Journal of Earth Sciences 9 (2002) 1-19.
- [9] Jiang S.Y., Palmer M.R., Li Y.H., Xue C.-J., "Chemical compositions of tourmaline in the Yindongzi-Tongmugou Pb-Zn deposits, Qinling, China:hnplieations for hydrothermal ore-forming processes", Mineralium Deposita 30 (1995) 225-234.
- [10] Esmaeili D., Valizadeh M.V., Kananian A., "The mineral chemistry of tourmaline in the quartz-tourmaline veins of Shah-Kuh granite (Eastern Iran)", Journal of science (University of Tehran) 5 (2005) 155-175.
- [11] Chappell, B. W., and Stephens, W. E., "Origin of infracrustal (I-type) granite magmas". Transactions of the Royal Society of Edinburgh, Earth Sciences 79 (1988), 71-86.
- [12] Stocklin J., "Structural correlation of the Apine range between Iran and central Asia", Memoire Hors-Serve No. 8 dela Societe Geologique de France 8 (1977) 33-353.
- [13] Whitney D.L., Evans B.W., "Abbreviations for names of rock-forming minerals", American Mineralogist 95 (2010) 185-187.

- Crystallography and Mineralogy 24 (2016) 189–204.
- [34] Ahmadi Khalaji A., Tahmasbi Z., Zal F., Shabani Z., "Study of tourmaline mineral chemistry in Lalehzar granite bodie (Kerman province)" Iranian Journal of Crystallography and Mineralogy 26 (2019) 975–988.
- [35] Khalili Kh., Mackizadeh M.A. "The occurrence of tourmaline in Kuh Zar (Baghoo) Au-Cu mine, south of Semnan province", Petrology 3 (2012) 57–70.
- [36] Siahcheshm K., Didar P., Bayat S., Jahangiri A., "Tourmaline mineral chemistry in Pegmatites of Malayer -Boroujerd- Nezam Abad (Shazand), (Sanandaj-Sirjan zone)", Iranian Journal of Crystallography and Mineralogy 27 (2019) 321–334.
- [37] Salami S., Sepahi A.A., Maanijou M., "Petrography and mineral chemistry of layered pegmatite-aplite dykes from east of Boroujerd", Iranian Journal of Crystallography and Mineralogy 24 (2016) 19–32.
- [38] Cavarretta G., Puxeddu M., "Schorl-Dravite-Ferridravite Tourmalines Deposited by Hydrothermal Magmatic Fluids during Early Evolution of the Larderico Geothermal Field, Italy", Economic Geology 85 (1990) 1236–1251.
- [39] Sinclair W.D., Richardson J.M., "Quartztourmaline orbicules in the seagull batholith, Yukon Territory", Canadian Mineralogist 30 (1992) 923–935.
- [40] Pirajino F., Smithies R. H., "The $FeO/(FeO + MgO)$ ratio of tourmaline: A useful indicator of spatial variations in granite-related hydrothermal mineral deposits", Journal of geochemical exploration 42 (1992) 371–381.
- [41] Samson I.M., Sinclair W.D., "Magmatic hydrothermal fluids and the origin of quartz tourmaline orbicules in the Seagull batholith, Yukon Territory", Canadian Mineralogist 30 (1992) 937–954.
- [42] Henry D. J., Guidotti C. V., "Tourmaline as a petrogenetic indicator mineral: an example from the staurolite-grade metapelites of NW Maine", American Mineralogist 70 (1985) 1–15.
- [43] Grew E. S., Anovitz L. M., Editors, "Boron mineralogy, petrology and geochemistry", Reviews in mineralogy Mineralogical (33) (1997) 387–502.
- [25] Zal F., "Geochemistry and source determination of tourmaline in Mashhad granites (g2)", M.Sc thesis, Faculty of Science, Lorestan University (2014) 110p.
- [26] Tahmasbi Z., Zal F., Ahmadi Khalaji A., "Morphology of Tourmaline in the Mashhad granites (g2) with using fractal analysis and Diffusion-Limited Aggregation", Iranian Journal of Crystallography and Mineralogy 23 (2015) 417–428.
- [27] Tahmasbi Z., Ahmadi Khalaji A., Rajaeieh M., "Tourmalinization in the Astaneh granitoids (south west Arak)", Iranian Journal of Crystallography and Mineralogy 17 (2009) 369–380.
- [28] Mansouri Esfahani M., Khalili M., "Mineralogy and mineral – chemistry of tourmaline and garnet from Molataleb village granitoid (North of Aligudarz) NW of Isfahan", Iranian Journal of Crystallography and Mineralogy 22 (2014) 139–148.
- [29] Sepahi A.A., Salami S., Tabrizi M., "Geochemistry of tourmalines in aplitic and pegmatitic dikes from Alvand plutonic and metamorphic rocks of the Hamedan area", Iranian Journal of Crystallography and Mineralogy 22 (2014) 495–506.
- [30] Ahmadi Khalaji A., Tahmasbi Z., Zal F., Shabani Z., "The behavior of major and trace elements of the tourmaline from the Mangavai and Ganjnameh pegmatitic rocks (Hamadan area)", Petrology 7 (2016) 1–24.
- [31] Ahmadi bonakdar A., Ahmadi A., "Tourmaline composition of Chah rouii pegmatites, southwest of Nehbandan", Iranian Journal of Crystallography and Mineralogy 21 (2013) 495–560.
- [32] Mirsepahvanad F., Tahmasbi T., Shahrokhi S. V., Ahmadi khalaji A., Khalili M., "Geochemistry and source determination of tourmalines in Boroujerd area", Iranian Journal of Crystallography and Mineralogy 20 (2012) 281–292.
- [33] Gholami A.A., Mohammadi S.S., Zarrinkoub M. H., "Petrography, mineral chemistry of tourmaline, geochemistry and tectonic setting of Tertiary igneous rocks in Shurab area (west of Khusf), Southern Khorasan", Iranian Journal of

- [46] Power G. M., "Chemical variation in tourmaline from south- west England", *Mineralogical Magazine* 36 (1968) 1078–1089.
- [47] Nemek D., "Tin in tourmalines. Neues Jahrbuch fur mineralogy", *Monatshefte* (2) (1973) 58–63.
- [48] McCammon R. B., "Numerical Mineral Deposit Models, In Developments in Mineral Deposits Modeling", James D. Bliss Editor, U. S. Geological Survey 2004 (1992) 168.
- [44] Burt D.M., "Vector representation of tourmaline compositions", *American mineralogist* 74 (1989) 826–839.
- [45] Taylor H. P., "Oxygen and hydrogen isotope relationships in hydrothermal mineral deposits. In: Barnes, H. L. (ed.), *Geochemistry of hydrothermal ore deposits*", 2nd edition. Wiley, New York (1979) 236–277.